



Iranian Journal of Polymer  
Science and Technology

Vol. 22, No. 5, 389-398

December 2009-January 2010

ISSN: 1016-3255

## Characterization and Thermal Rearrangement Investigation of 1,4-Polybutadiene by Nuclear Magnetic Resonance Spectroscopy

F. Ziaeef

Iran Polymer and Petrochemical Institute, P.O. Box: 14965-115, Tehran, Iran

Received 29 August 2009, accepted 7 December 2009

### ABSTRACT

**M**icrostructural investigation of low molecular weight 1,4-polybutadiene (1,4-PBD) was studied by  $^1\text{H}$  and  $^{13}\text{C}$  nuclear magnetic resonance spectroscopy (NMR). The isomer contents of 1,4-cis, 1,4-trans and 1,2-vinyl in polybutadiene microstructure were determined. The number average molecular weight for low molecular weight polybutadiene was measured by NMR techniques and comparison was made with gel permeation chromatography (GPC) results. Due to the presence of methyl end group and considering the repeating units in 1,4-PBD microstructure, the number average molecular weight was calculated by NMR techniques. This study was accomplished by obtaining cis-trans isomerization in non-pyrolytic anaerobic conditions at 200 to 250°C. The results showed that increase in heat treatment time increased the trans isomer and decreased the cis isomer contents respectively. The presence of 1,2-vinyl isomers increased the average molecular weights by heat treatment time at 250°C and did not lead to any chain scission in 1,4-PBD.

### Key Words:

polybutadiene,  
NMR,  
microstructure,  
thermal rearrangement,  
GPC

(\*)To whom correspondence should be addressed.

E-mail: f.ziaeef@ippi.ac.ir



مجله علوم و تکنولوژی پلیمر،  
سال بیست و دوم، شماره ۵  
صفحه ۳۸۹-۳۹۸، ۱۳۸۸  
ISSN : 1016-3255

# شناسایی و بررسی نوآرایی گرمایی ۴،۱-پلی بوتادی ان به کمک طیف سنجی رزونانس مغناطیسی هسته

فرشید ضیایی

تهران، پژوهشگاه پلیمر و پتروشیمی ایران، صندوق پستی ۱۱۵-۳۹۶۵

دریافت: ۸/۷/۸۷، پذیرش: ۸/۹/۸۷

## چکیده

در این پژوهش، بررسی ریزساختار ۴،۱-پلی بوتادی ان با وزن های مولکولی کم مطالعه شده است. پارامترهای اساسی در ریزساختار پلی بوتادی ان تعیین میزان ایزومرها ۱-سیس، ۱-ترانس و ۲،۱-وینیل است که به کمک روش طیف سنجی رزونانس مغناطیسی هسته (NMR) انجام شده و برای این منظور دو روش  $^1\text{H}$  NMR و  $^{13}\text{C}$  NMR به کار گرفته شده است. پارامتر دیگر در پلی بوتادی ان با وزن های مولکولی کم به دست آوردن متوسط وزن مولکولی عددی به کمک NMR است که بانتایج روش رنگ نگاری ژل تراوایی مقایسه شده است. به علت وجود گروه متیل در انتهای زنجیر، این امکان فراهم می شود تا با اندازه گیری مقدار و مقایسه با واحدهای تکرار شونده، مقدار وزن مولکولی عددی به کمک فنون NMR محاسبه شود. در بخش دوم این پژوهش، تبدیل ایزومرشدن سیس و ترانس به یک دیگر در شرایط گرمایی غیرپیرولیتیکی مطالعه شده که در دماهای ۲۰۰ تا  $250^\circ\text{C}$  در محیط عاری از اکسیژن انجام شده است. نتایج نشان می دهد، با افزایش زمان گرمادهی از مقدار ایزومر سیس کاسته شده و به مقدار ایزومر ترانس افزوده می شود. به واسطه وجود ۲،۱-وینیل، با افزایش زمان گرمادهی در دمای  $250^\circ\text{C}$  مقدار متوسط وزن های مولکولی افزایش یافته و هیچ نوع شکست زنجیر در ۴،۱-پلی بوتادی ان رخ نمی دهد.

## واژه های کلیدی

پلی بوتادی ان،  
رزونانس مغناطیسی هسته،  
ریزساختار،  
نوآرایی گرمایی،  
رنگ نگاری ژل تراوایی

\* مسئول مکاتبات، پیام نگار:  
[f.ziae@ippi.ac.ir](mailto:f.ziae@ippi.ac.ir)

## مقدمه

خودنمایی خواهد کرد. در حالتی که درصد ایزومر ۱-۲،۱-وینیل قابل توجه باشد، واکنش های شبکه ای شدن اتفاق می افتد که جزء واکنش های بین مولکولی است [۱۳].

در این پژوهش، مطالعه ریزساختار ۴،۱-پلی بوتادی ان با وزن های مولکولی کم بررسی شده که شامل تعیین درصد ایزومرها و اندازه گیری وزن مولکولی متوسط عددی است. اندازه گیری وزن مولکولی متوسط عددی به کمک فنون NMR برای ۱-۴،۱-پلی بوتادی ان برای وزن های مولکولی کم نوآرایی این پژوهش به شمار می رود. در ادامه مطالعاتی روی نوآرایی گرمایی ۴،۱-پلی بوتادی ان در شرایط غیرپرولیتیکی انجام شده است. بررسی ایزومرشدن سیس - ترانس از لحاظ کمی و کیفی به کمک فنون NMR نیز از موارد بدیعی است که کمتر در پژوهش ها به آن اشاره شده است.

## تجربی

### مواد

۴،۱-پلی بوتادی ان ساخت شرکت Aldrich (۴۳۴۷۷۹) در شرایط محیط مایعی بی رنگ و شفاف، با گرانزوی ۸۲۵ mPa.s در ۶۷۵ تا ۴،۱-۴،۱-پلی بوتادی ان بدون مواد نگه دارنده بوده و بدون خالص سازی مورد استفاده قرار گرفت. مشخصات درصد ایزومرها و وزن مولکولی متوسط عددی ارائه شده توسط شرکت تولیدکننده برای رزین ۱-۴،۱-پلی بوتادی ان در جدول های ۱ و ۲ قابل مشاهده است.

### دستگاه

طیف های NMR به حالت مایع به وسیله طیف سنج با قدرت مغناطیسی ۴۰۰ MHz، مدل AVANCE ساخت شرکت Bruker نمونه های  $^1\text{H}$  NMR و  $^{13}\text{C}$  NMR از پلی بوتادی ان به ترتیب ۵ و ۲۰ mg در ۱ mL حلال کلروفرم دوتریم دار در لوله های ۵ mm در دمای محیط تهیه شدند. مشخصات آزمون ها برای طیف های  $^1\text{H}$  NMR با زاویه فلیپ (flip angle) ۳۰ درجه، زمان تاخیر ۱۰ s، زمان اکتساب

جدول ۱ - مشخصات ریزساختار ۱-۴،۱-پلی بوتادی ان.

	۱	۷۰	۱۴	۴،۱-پلی بوتادی ان	مشخصات
	۲۷	۲۴/۸	۲۵/۹	۷۲	$^1\text{H}$ NMR
				۷۴/۲	$^{13}\text{C}$ NMR
				۷۲/۷	

در بررسی منابع، اصولاً مطالعات گسترشده ای روی شناسایی و تخریب پلی بوتادی ان از جنبه های متفاوت توسط پژوهش گران انجام شده است. تجزیه پلی بوتادی ان و تعیین ریزساختار آن به وسیله NMR بسیار پیچیده است، چون در پلیمر شدن بوتادی ان، انواع پیکربندی مونومر بوتادی ان ممکن است به وجود آید و آرایش تمام آنها در کنار هم بسیار متنوع خواهد بود. اصولاً مونومر بوتادی ان در زمان پلیمر شدن می تواند به سه شکل ۴،۱-ترانس، ۱-سیس و ۲،۱-وینیل آرایش یابد. ایزومر ۲،۱-وینیل نیز می تواند به دو شکل تک نظم و هم نظم درون زنجیر پلیمر قرار گیرد. بیشتر پژوهش گران از  $^{13}\text{C}$  NMR برای مطالعه ریزساختار پلی بوتادی ان استفاده کرده اند و برخی محققان نیز از  $^1\text{H}$  NMR ۲D NMR (رزونانس مغناطیسی هسته دوبعدی) سود جسته اند [۱].

مطالعات تخریب پلی بوتادی ان که توسط پژوهش گران انجام شده عموماً شامل تخریب در معرض تابش امواج فرا صوت [۲]، نور فرابنفش [۳،۴]، اوزون [۵]، فشار [۶] و اکسیژن [۷-۹] است. اما، مطالعه تخریب گرمایی پلی بوتادی ان یکی از مهم ترین آنهاست. در این زمینه نیز بررسی هایی توسط دانشمندان انجام [۱۰-۱۸] و مشخص شد که ساز و کار تخریب، به ترکیب درصد ایزومرهای موجود در ساختار پلی بوتادی ان وابسته است.

تخریب گرمایی پلی بوتادی ان را می توان بر حسب دمای واکنش به شرایط پرولیتیک و غیرپرولیتیک دسته بندی کرد [۱۰]. حالت پرولیتیک که به آن حالت نوع اول نیز اطلاق می شود، واکنش های واپلیمر شدن و تولید مونومرهای بوتادی ان، حلقوی شدن، شکست زنجیر و تشکیل محصولات جانبی را سبب می شود. حالت پرولیتیک، به طور عمومی در دمای بالاتر از  $300^\circ\text{C}$  برای انواع پلی بوتادی ان با ترکیب درصد های متفاوت از سه ایزومر ایجاد می شود که با گذشت زمان باعث کاهش وزن نیز خواهد شد.

در حالت غیرپرولیتیک واکنش های گرمایی عموماً به دو گروه واکنش های درون مولکولی و بین مولکولی دسته بندی می شود. در حالت غیرپرولیتیکی واکنش با گذشت زمان باعث کاهش وزن نشده و عموماً برای انواع پلی بوتادی ان در دمای های بین  $200-280^\circ\text{C}$  اتفاق می افتد. در واکنش های درون مولکولی، نوآرایی به شکل حلقوی شدن از قاعده [۲+۲] انجام می شود که اصطلاحاً به آن حالت نوع دوم اطلاق می شود و باعث کاهش میزان سیر نشدنگی در پلی بوتادی ان می شود. دسته دیگر از واکنش های غیرپرولیتیکی در پلی بوتادی ان، واکنش های بین مولکولی است که در آن دو زنجیر مجاور با هم واکنش داده و باعث افزایش وزن مولکولی می شود. بسته به درصد ایزومر ۲،۱-وینیل موجود در پلی بوتادی ان اهمیت واکنش های بین مولکولی و درون مولکولی

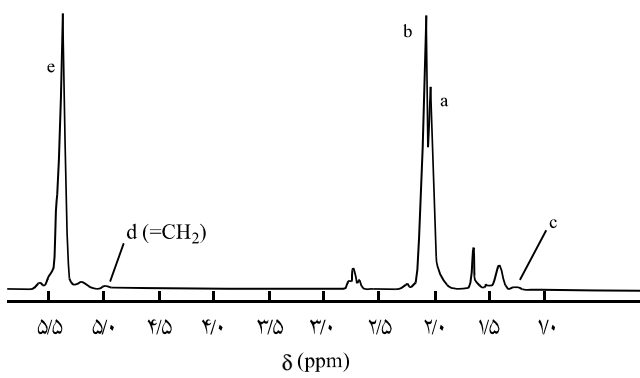
طور زمان واکنش دهی از پوششی برای جلوگیری از ورود نور محیط استفاده و ظرف واکنش نیز در بخش تاریک قرار داده شد و واکنش گرمایی در دماهای ۲۰۰، ۲۲۵ و ۲۵۰°C درون حمام روغن با دقیق  $\pm 0.1$  در زمان های مختلف انجام شد. پس از انجام واکنش، آمپول شکسته شده و محتويات آن به طور مستقيم و بدون هیچ خالص سازی شناسایی شد.

## نتایج و بحث

در این بخش ابتدا ریزساختار ۴،۱-پلی بوتادی ان با وزن مولکولی کم بررسی می شود که شامل دو مبحث تعیین کمی ایزومرها و اندازه گیری وزن مولکولی عددی به وسیله فنون رزونانس مغناطیسی هسته است. سپس، تغییر و نوآزیبی گرمایی در شرایط غیرپیرولیتیکی و در دماهای ۲۰۰، ۲۲۵ و ۲۵۰°C ارزیابی می شود.

### تعیین کمی ایزومرها

به علت کوتاه بودن محدوده جابه جایی شیمیایی  $^1\text{H}$  NMR، وضوح طیف ها و شناسایی ریزساختار پلی بوتادی ان به خوبی  $^{13}\text{C}$  NMR می توان از لحاظ کمی میزان ایزومرهای نخواهد بود. اما، با  $^1\text{H}$  NMR می توان ایزومرهای پلی بوتادی ان را اندازه گیری کرد [۱۹]. شکل ۱ طیف  $^1\text{H}$  NMR نمونه ۴،۱-پلی بوتادی ان است که در حلال کلروفرم دوتربیم دار و در شرایط محیطی به همراه تعیین پروتون های موجود به دست آمده است. همان طور که در شکل ۱ دیده می شود، پروتون های آلفاتیکی و اولفینی ایزومرهای سیس و ترانس هم پوشانی جزیی دارند و داده های کمی آن می تواند با خطا همراه باشد. اما، به اعتقاد پژوهش گران اطلاعات درباره تعیین مقدار کمی ایزومرها به وسیله  $^1\text{H}$  NMR دقیق تر است [۱۹]. حتی



شکل ۱ - طیف  $^1\text{H}$  NMR ۴،۱-پلی بوتادی ان در حلال کلروفرم دوتربیم دار و دمای محیط.

جدول ۲ - مقایسه روش های تعیین وزن مولکولی عددی ۴،۱-پلی بوتادی ان.

روش تعیین وزن مولکولی	مقدار وزن مولکولی متوسط عددی
VPO*	$1.5 \times 10^3$
$^1\text{H}$ NMR	$2.4 \times 10^3$
$^{13}\text{C}$ NMR	$2.2 \times 10^3$
GPC	$2.7 \times 10^3$

\* وزن مولکولی متوسط عددی ارائه شده توسط Aldrich

در این بخش ابتدا ریزساختار ۴،۱-پلی بوتادی ان با وزن مولکولی کم بررسی می شود که شامل دو مبحث تعیین کمی ایزومرها و اندازه گیری وزن مولکولی عددی به وسیله فنون رزونانس مغناطیسی هسته است. به همین ترتیب مشخصات آزمون ها برای طیف های  $^{13}\text{C}$  NMR و انواع روش های تقویت بدون واپیچیدگی با انتقال قطبش (Distortionless Enhancement by Polarization Transfer (DEPT)) بازاویه فلیپ ۹۰ و ۳۰ درجه، زمان تاخیر ۱۰ s، زمان اکتساب ۷۳۷-۷۵۹ s، تعداد ۱۰۰۰۰ پویش و از برنامه پالس واجفت شدن دروازه ای (power gate) و دروازه ای معکوس (inverse gate) استفاده شده است. تعیین وزن های مولکولی متوسط عددی و وزنی و همین طور زمان اقامت اولیه و نهایی به کمک رنگ نگار ژل تراوای (GPC) مدل ۱۱۰۰ ساخت شرکت Agilent دارای نوع ستون ( $10 \mu\text{m}$ ) مجتمعه  $(10.4 \text{ \AA}, 10.3 \text{ \AA}, 10.5 \text{ \AA})$  و  $(500 \text{ \AA}, 10.3 \text{ \AA}, 10.4 \text{ \AA})$ ، آشکارساز ضریب شکست تفاضلی، حلال تراهیدروفوران، با سرعت جریان  $1 \text{ mL/min}$  در دمای ۳۰°C انجام شد. برای کالیبره کردن دستگاه نیز از پلی استیرن های استاندارد استفاده شده است.

### روش ها

#### واکنش گرمایی

برای انجام واکنش های گرمایی ۴،۱-پلی بوتادی ان، مقدار حدود ۲ g از رزین مایع و گرانزو بدون هیچ ماده افزودنی به وسیله سرنگ به آمپول شیشه ای تزریق و عملیات گاز زدایی انجام شد. آمپول شیشه ای دارای ابعاد  $25 \text{ cm}$  طول،  $15 \text{ mm}$  قطر داخلی و  $1 \text{ mm}$  ضخامت دیواره بود. بر اثر تزریق پلی بوتادی ان درون آمپول شیشه ای و به دلیل گرانزو بدون رزین مذبور مقداری حباب اکسیژن حبس می شود که با اعمال خلاء به راحتی جدا نمی شود. به این دلیل لازم بود، محفظه آمپول به وسیله جریان گاز نیتروژن، اکسیژن زدایی شود و آمپول درون حمام آب گرم  $70^\circ\text{C}$  قرار گرفت تا مقدار گرانزوی رزین پلی بوتادی ان کاهش یابد. سپس، برای آب بندی آمپول ها از شعله مستقیم به هنگام انجام رزین درون محفظه نیتروژن مایع، استفاده شد. در انجام اکسیژن زدایی و همین

ترانس به ترتیب در ناحیه  $27/45$  و  $32/72$  ppm و پیک های کربن متین اولفینی آنها به ترتیب در جایه جایی شیمیایی  $129/61$  و  $130/12$  ppm دیده می شوند. کربن متین اولفینی از ایزومر  $2,1$ -وینیل نیز در ناحیه  $125/06$  ppm قابل اندازه گیری کمی است.

این امکان نیز وجود دارد که با اندازه گیری سطوح زیر منحنی مقدار کمی ایزومرهای پلی بوتادی ان به دست آید. با استفاده از معادلات (۴) تا (۶) و شکل ۲ نیز می توان محاسبات کمی را برای اندازه گیری درصد ایزومرهای  $2,1$ -وینیل،  $1,4$ -وینیل،  $1,4$ -سیس و  $1,4$ -ترانس به کمک  $^{13}\text{CNMR}$  انجام داد:

$$(4) \quad 100 = 2i \times (2i+j)$$

$$(5) \quad 100 = g \times (g+h+2i)$$

$$(6) \quad 100 = h \times (g+h+2i)$$

تمام نتایج به دست آمده کمی از طیف های  $^{13}\text{C NMR}$  و  $^1\text{H NMR}$  در جدول ۱ مشاهده می شود. همان طور که دیده می شود، نتایج انحراف کمی نسبت به یک دیگر داشته و قابل اطمینان است.

### تعیین وزن مولکولی پلی بوتادی ان

به علت کم بودن وزن های مولکولی  $1,4$ -پلی بوتادی ان این امکان وجود دارد که گروه های انتهایی زنجیر شناسایی و با اندازه گیری سطوح زیر منحنی این گروه ها و مقایسه با واحد های تکرار شونده در زنجیر پلیمر، مقدار وزن مولکولی متوسط عددی را محاسبه و اندازه گیری کمی کرد. در مرحله نخست باید گروه های انتهایی در  $1,4$ -پلی بوتادی ان شناسایی شوند، سپس با اندازه گیری سطوح زیر منحنی و انجام محاسبات مقدار وزن مولکولی عددی اندازه گیری شود. در الگوهای ابتدای انتهایی زنجیر در سنتز  $1,4$ -پلی بوتادی ان، گروه های انتهایی از نوع متیل مشاهده می شود [۲۰] که در وهله اول باید وجود آنها را در طیف  $^{13}\text{C NMR}$  جست و جوکرد.

به طور کلی در متون علمی، به روش پلیمر شدن  $1,4$ -پلی بوتادی ان توسط شرکت Aldrich اشاره ای نشده است. بنابراین، می توان حالت های متفاوت را مد نظر قرار داد. در روش های پلیمر شدن رادیکالی اگر از آغازگر رادیکالی حاوی گروه یا گروه های متیل استفاده شود و الگوی واکنش های اختتام نیز از نوع ترکیب باشد، زنجیر هایی با دو گروه متیل در ابتدای انتهایی زنجیر سنتز می شود. در حالی که عملاً در پلیمر شدن رادیکالی علاوه بر بیشتر بودن درصد ایزومر  $2,1$ -وینیل درون

با دستگاه های با میدان مغناطیسی بیشتر مانند  $400$  MHz نیز هم پوشانی سیس و ترانس وجود دارد، ولی این هم پوشانی در مقایسه با دستگاه های ضعیف تر، کمتر خواهد بود. اصولاً پلی بوتادی ان با مشخصات موجود به وسیله کاتالیزورهای لیتیم تهیه می شود و مقدار سیس و ترانس آن آلفاتیکی ایزومرهای سیس و ترانس به ترتیب در ناحیه  $2/08$  و  $2/04$  ppm و  $5/42$  ppm و  $5/39$  ppm مشاهده می شوند. هم چنین پیک های پروتون های اولفینی آنها به ترتیب در ناحیه  $2,1$ -وینیل نیز باشد که مشاهده می شوند.

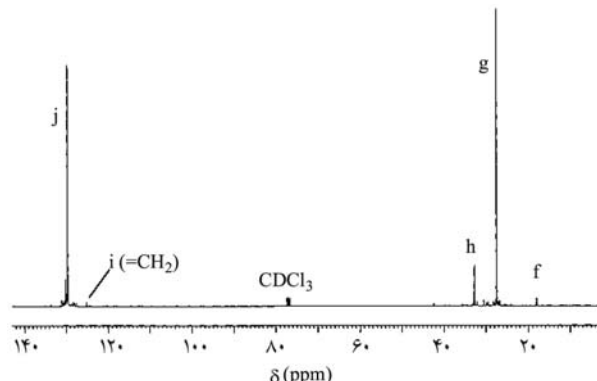
برای اندازه گیری کمی مقدار ایزومر  $2,1$ -وینیل می توان از پیک اولفینی گروه متیلن در ناحیه  $4/95$  ppm استفاده کرد. پیک مربوط به پروتون های متیل انتهایی زنجیر نیز در ناحیه  $1/25$  ppm قابل مشاهده است. با اندازه گیری سطوح زیر منحنی این امکان وجود دارد که درصد کمی ایزومرها معین شوند. با استفاده از معادلات (۱) تا (۳) و شکل ۱ می توان محاسبات کمی را برای اندازه گیری درصد ایزومرهای  $2,1$ -وینیل،  $1,4$ -سیس و  $1,4$ -ترانس به کمک  $^1\text{H NMR}$  انجام داد:

$$(1) \quad 100 = d/(e+d) \times 100$$

$$(2) \quad 100 = b/(a+b+2d) \times 100$$

$$(3) \quad 100 = a/(a+b+2d) \times 100$$

به کمک  $^{13}\text{C NMR}$  می توان بررسی های متفاوت کیفی و کمی روی  $1,4$ -پلی بوتادی ان انجام داد. شکل ۲ طیف  $^{13}\text{C NMR}$  ۱،۴-پلی بوتادی ان را در حلال کلروفرم دوتریم دار و در شرایط محیطی نشان می دهد. همان طور در این شکل دیده می شود، پیک های کربن متیلنی ایزومرهای سیس و



شکل ۲ - طیف  $^{13}\text{C NMR}$  ۱،۴-پلی بوتادی ان در حلال کلروفرم دوتریم دار و در دمای محیط.

دروازه‌ای معکوس برای  $^{13}\text{C}$  این امکان وجود دارد که با اندازه گیری سطوح زیر منحنی مقدار کمی اندک از کربن هارا به دست آورد. پروتون‌های موجود در گروه متیل نیز باید از لحاظ جا به جایی شیمیایی همانند هسته کربن در میدان مغناطیسی بالا ظاهر شوند که در ناحیه ppm ۷/۲۵ در شکل ۱ نشان داده شده است. با توجه به سطوح نشان داده شده در شکل های ۱ و ۳ و استفاده از معادلات (۷) و (۸) می‌توان وزن مولکولی عددی ۴،۱-پلی بوتادی ان مزبور را با روش‌های  $^1\text{H}$  NMR و  $^{13}\text{C}$  NMR محاسبه کرد که نتایج آن در جدول ۲ دیده می‌شود:

$$\overline{M}_n = \frac{3(a+b)}{4c} \times 54 \quad (7)$$

$$\overline{M}_n = \frac{g+h}{2f} \times 54 \quad (8)$$

برای مقایسه نتایج روش‌های رزونانس مغناطیسی هسته، می‌توان از روش‌های معتبر دیگری مانند روش GPC استفاده و نتایج را با هم مقایسه کرد که در جدول ۲ دیده می‌شود. نتایج نشان دهنده آن است که هر دو روش GPC و NMR داده‌های یک دیگر را تأیید می‌کنند و نحوه تعیین پیک‌های شناسایی شده در NMR صحیح است.

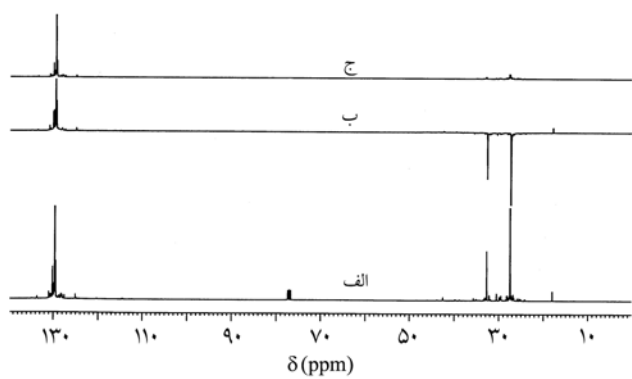
علت کمتر بودن نتایج وزن مولکولی NMR در مقایسه با نتایج GPC می‌تواند به این دلیل باشد که در معادلات اشاره شده وزن مولکولی بخشن ابتدای زنجیر در محاسبات دیده نشده است. این بدان علت است که به طور دقیق نوع آغازگر و اتم فلزی به کار رفته مشخص نیست، بنابراین گروه انتهایی زنجیر می‌تواند در وزن‌های مولکولی به دست آمده به کمک روش GPC تعیین کننده باشد و باعث افزایش وزن مولکولی در مقایسه با روش‌های NMR شود.

### نوآرایی گرمایی ۴،۱-پلی بوتادی ان

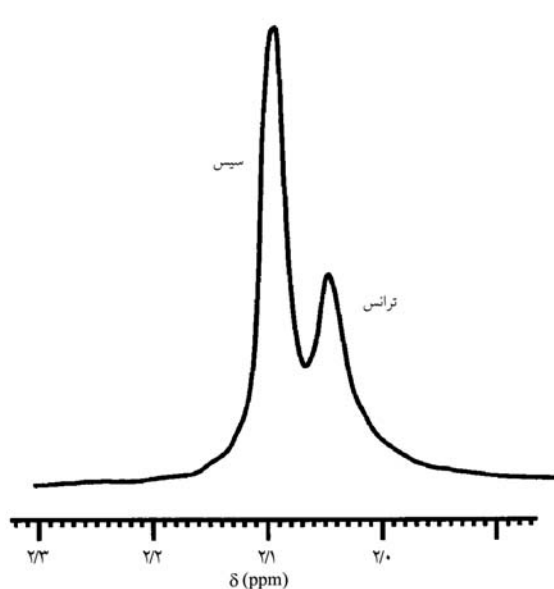
از مسائل مهمی که در صنایع پلیمری با آن می‌توان روبه رو شد، تخریب و نوآرایی گرمایی در حین انجام فرایندهای شیمیایی است. یکی از این پلیمرها که مطالعات گسترده‌ای روی ساز و کارهای تخریب آن انجام شده، پلی بوتادی ان است. با توجه به وجود سه ایزومر مختلف در ساختار پلی بوتادی ان و دمای اعمال شده در فرایندهای شیمیایی، ساز و کارهای متعددی در نوآرایی گرمایی پلی بوتادی ان گزارش شده است. بدین معنی که وجود ایزومر ۲،۱-وینیل، بیشترین اثر را در تغییر ساختار پلی بوتادی ان دارد و سبب واکنش‌های عرضی بین دو زنجیر و پارگی درشت مولکول‌ها می‌شود [۱۳، ۱۴]. در این شرایط ۴،۱-پلی بوتادی ان که در آن مقدار ایزومر ۲،۱-وینیل حداقل است، واکنش ایزومرشدن سیس-

زنジبر پلیمر، وزن‌های مولکولی بیشتر نیز سنتز شده که بر خلاف مشخصات پلی بوتادی ان مذبور است. بنابراین، شرط سنتز ۴،۱-پلی بوتادی ان با وزن‌های مولکولی کم از نوع غیررادیکالی است و عموماً از فنون پلیمرشدن یونی و به طور خاص از روش‌های آئینی استفاده می‌شود [۲۱]. به طور مثال، از آغازگر نرمال بوتیل لیتیم استفاده می‌شود که در انتهای زنجیر گروه متیل به وجود می‌آید، برای اختتام واکنش‌های یونی نیز عموماً از مواد انتقال، اختتام دهنده یا ناخالصی‌هایی نظیر آب، اکسیژن و کربن دیوکسید استفاده می‌شود که زنجیرهایی با وزن‌های مولکولی کم را به وجود می‌آورد. بنابراین، تنها یک طرف زنجیر گروه متیل خواهد بود. اگر برای واکنش‌های اختتام از موادی استفاده شود که انتهای زنجیر نیز گروه متیل باشد، در این حالت باید در طیف  $^{13}\text{C}$  NMR دو پیک مربوط به کربن متیل دیده شود. در حالی که تنها یک پیک تک‌قله‌ای کربن متیل در جایه‌جایی شیمیایی ۱۷۰ ppm بدون هیچ شکافتگی دیده می‌شود. از این رو می‌توان اطمینان داشت که گروه متیل تنها در ابتدای زنجیر وجود دارد.

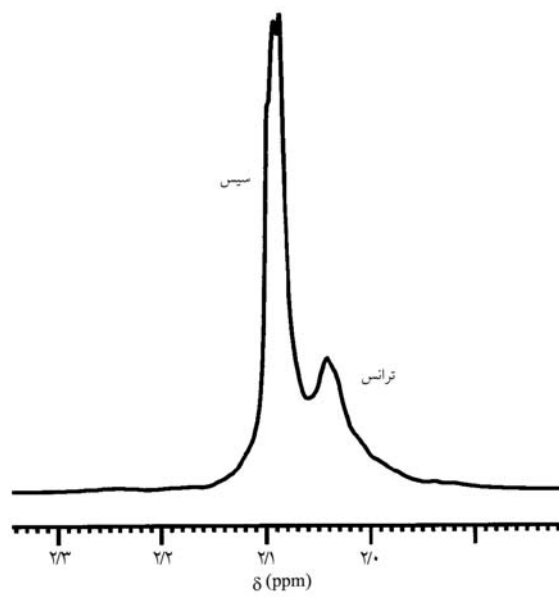
شکل ۳-الف طیف کامل  $^{13}\text{C}$  NMR از ۴،۱-پلی بوتادی ان است که برای آشکار شدن انواع کربن در آنها باید از فنون تقویت بدون DEPT135 (DEPT) استفاده کرد. در روشن DEPT135 کربن‌های نوع اول و سوم با علامت‌های (signal) مثبت، کربن نوع دوم با علامت منفی و کربن نوع چهارم حذف خواهد شد. در روشن DEPT90 نیز کربن‌های نوع سوم با علامت مثبت و سایر کربن‌ها حذف می‌شوند. شکل های ۳-ب و ۳-ج به ترتیب طیف DEPT135 و DEPT90 از ۴،۱-پلی بوتادی ان را نشان می‌دهد که می‌توان با طیف  $^{13}\text{C}$  NMR مقایسه کرد. همان‌طور که مشخص است، پیک در ناحیه جایه‌جایی شیمیایی ۱۷۰ ppm کربن نایزه ای که می‌توان از گروه‌های انتهایی زنجیر قابل شناسایی است. با توجه به روش پالس واجفت شدن



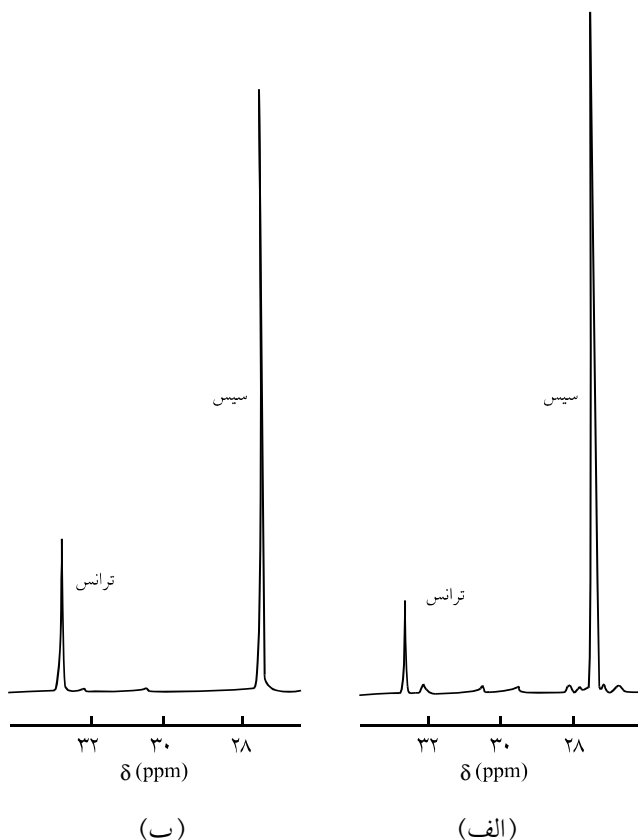
شکل ۳- (الف) طیف  $^{13}\text{C}$  NMR، (ب) DEPT135 و (ج) DEPT90 برای ۴،۱-پلی بوتادی ان در حلال کلروفرم دوتریم دار و در دمای محیط.



(ب)

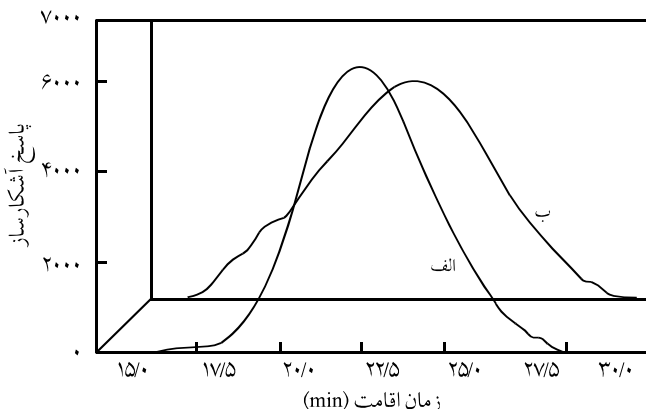


(الف)

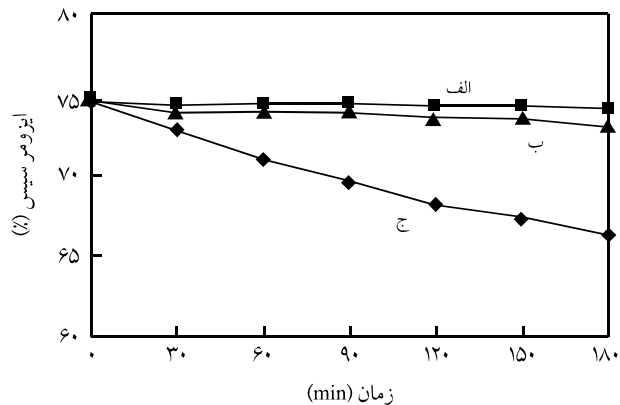
شکل ۴ - ناحیه گستردۀ طیف  $^1\text{H}$  NMR پروتون متیلن از ۱،۴-پلی بوتادیان: (الف) پیش از گرمادهی و (ب) پس از ۳ h گرمادهی در دمای  $250^\circ\text{C}$ .شکل ۵ - ناحیه گستردۀ طیف  $^{13}\text{C}$  NMR کربن متیلن از ۱،۴-پلی بوتادیان: (الف) پیش از گرمادهی و (ب) پس از ۳ h گرمادهی در دمای  $250^\circ\text{C}$ .

ترانس گزارش شده است [۱۰]. در این واکنش که در دمای بالاتر از  $200^\circ\text{C}$  و کمتر از  $280^\circ\text{C}$  به وجود می‌آید و جزء واکنش‌های غیرپیرولیتیکی به شمار می‌رود، تغییر در درصد ایزومرها سیس و ترانس در ۱،۴-پلی بوتادیان شناسایی شده است.

در برخی مراجع اشاره شده که در دمای  $236^\circ\text{C}$  و پس از گذشت ۳ h، نمونه ۱،۴-پلی بوتادیان با مقدار ۹۸٪ ایزومر سیس، به ۳۵٪ ایزومر سیس تبدیل و منحنی تبدیل آن به شکل نمایی است [۱۰]. شکل ۴ ناحیه گستردۀ پیک پروتون متیلن آلفاچیک ایزومرهای سیس و ترانس ۱،۴-پلی بوتادیان را پیش و پس از ۳ h گرمادهی در دمای  $250^\circ\text{C}$  نشان می‌دهد. همان‌طور که دیده می‌شود با گذشت زمان، شدت پیک پروتون‌های ایزومر سیس کاهش و در مقابل شدت پیک پروتون‌های ایزومر ترانس افزایش می‌یابد. در شکل ۵ وضعیت کربن‌های متیلن آلفاچیک برای ایزومرهای سیس و ترانس از ۱،۴-پلی بوتادیان، پیش و پس از گرمادهی قابل مشاهده است. در اینجا هم با گذشت زمان، شدت پیک کربن‌های ایزومر سیس کاهش و در برابر شدت پیک کربن‌های اولفینی ایزومرهای سیس و ترانس نیز صادق است. ولی به دلیل وضوح بهتر پیک‌های آلفاچیکی می‌توان محاسبات کمی را بر اساس پیک‌های پروتون و کربن آلفاچیکی سیس و ترانس بنانهاد [۲۲]. در تجزیه کمی نیز می‌توان شدت پیک را اندازه‌گیری کرد که نتیجه محاسبات را می‌توان در شکل ۶ مشاهده کرد. برای نمونه‌های



شکل ۷ - رنگ نگار GPC برای ۱،۴-پلی بوتادی ان (الف) پیش از گرمادهی و (ب) پس از ۳ h گرمادهی در دمای ۲۵۰°C.



شکل ۶ - منحنی ایزومر شدن سیس - ترانس در زمان های متفاوت گرمادهی در دماهای مختلف: (الف) ۲۰۰°C، (ب) ۲۲۵°C و (ج) ۲۵۰°C

نتایج کمی متوسط وزن های مولکولی عددی و وزنی به همراه زمان های اقامت اولیه و نهایی ۳h گرمادهی در دمای ۲۵۰°C دیده می شود. همان طور که از شکل ۷ و جدول ۳ مشخص است، با افزایش زمان گرمادهی زمان اقامت اولیه در ستون GPC کاهش می یابد که نشان دهنده به وجود آمدن زنجیرهایی با وزن های مولکولی بیشتر است. ولی تغییری در زمان های اقامت نهایی دیده نمی شود. عدم تغییر در زمان اقامت نهایی نشان دهنده عدم واکنش های شکست زنجیر حین گرمادهی است [۲۰].

علت افزایش وزن مولکولی نیز به واسطه وجود ۱% ایزومر ۲،۱-وینیل درون زنجیر پلی بوتادی ان است که باعث واکنش های بین زنجیر و شبکه ای شدن می شود و هر چه مقدار این ایزومر بیشتر باشد، سرعت شبکه ای شدن افزایش می یابد. اصولاً تحویه شبکه ای شدن به دو حالت امکان پذیر است. یکی واکنش ایزومر ۲،۱-وینیل از یک زنجیر با ایزومر ۲،۱-وینیل از زنجیر دیگر پلی بوتادی ان و حالت دیگر شبکه ای شدن واکنش ایزومر ۲،۱-وینیل با گروه متیلن آلیفاتیک از ایزومرهای سیس یا ترانس است [۲۰].

<sup>13</sup>C NMR از برنامه پالس واجفت شدن دروازه ای استفاده شده است. بنابراین داده های کمی به دست آمده از پروتون و کربن تقریباً قابل انطباق است.

همان طور که از شکل ۶ می توان مشاهده کرد، سرعت کاهش درصد ایزومر سیس ابتدا روندی سریع دارد و به تدریج این سرعت کاهش می یابد. زمان نهایی که در شکل ۶ دیده می شود، ۳h است و طبیعتاً در زمان های بیشتر گرمادهی مقدار ایزومر سیس کاهش بیشتری از خود نشان می دهد [۱۰]. همان طور که در شکل ۶ می توان مشاهده کرد، سرعت تبدیل ایزومر سیس به ترانس با افزایش دمای گرمادهی افزایش می یابد، به طوری که در دمای ۲۰۰°C و در طول ۳h گرمادهی تغییر قابل ملاحظه ای در ایزومرها دیده نمی شود [۱۸].

از نقطه نظر تغییر در وزن های مولکولی نیز این فرایند می تواند حائز اهمیت باشد. بنابراین، به کمک روش رنگ نگاری ژل تراوایی نیز می توان پیش و پس از گرمادهی تغییرات وزن های مولکولی و زمان اقامت اولیه و نهایی را مطالعه کرد. شکل ۷ رنگ نگار ۱،۴-پلی بوتادی ان را پیش و پس از ۳h گرمادهی در ۲۵۰°C نشان می دهد. در جدول ۳ نیز

جدول ۳ - نتایج رنگ نگاری ژل تراوایی ۱،۴-پلی بوتادی ان پیش و پس از گرمادهی در دمای ۲۵۰°C.

نهایی	اولیه	زمان اقامت (min)	شاخص پراکندگی	متوسط وزن مولکولی		زمان گرمادهی (min)
				وزنی	عددی	
۲۹/۱	۱۵/۴	۲/۷۹	۷/۵۳ × ۱۰³	۲/۷۰ × ۱۰³	۰	
۲۹/۱	۱۵/۳	۳/۳۴	۹/۵۴ × ۱۰³	۲/۸۶ × ۱۰³	۶۰	
۲۹/۱	۱۵/۰	۴/۲۲	۱۲/۴ × ۱۰³	۲/۹۴ × ۱۰³	۱۲۰	
۲۹/۱	۱۴/۶	۴/۸۸	۱۴/۶ × ۱۰³	۲/۹۹ × ۱۰³	۱۸۰	

## نتیجه گیری

روش GPC، متوسط وزن مولکولی عددی آن محاسبه شود که نتایج انطباق پذیر و قابل قبولی به دست آمد. بررسی گرمایی غیرپیرولیتیکی در دماهای ۲۰۰ تا ۲۵۰°C و در شرایط خلاء نشان می‌دهد، هیچ واکنش شکست زنجیر رخ نداده و در عوض به واسطه وجود ایزومر ۲،۱-وینیل واکنش‌های شبکه‌ای شدن اتفاق می‌افتد. واکنش دیگری که در دمای ۲۵۰°C روی می‌دهد، تبدیل ایزومر سیس به ترانس است که با افزایش زمان گرمادهی این میزان نیز افزایش یافته به طوری که در طول ۳ h گرمادهی مقدار ایزومر سیس از ۷۵٪ به ۶۶٪ کاهش می‌یابد.

## مراجع

1. Koltsov A.I., *The Latest NMR Research in Organic and Polymer Chemistry in Russia*, Norell, 1996.
2. Chakraborty J., Sarkar J., Kumar R., and Madras G., Ultrasonic Degradation of Polybutadiene and Isotactic Polypropylene, *Polym. Degrad. Stab.*, **85**, 555-558, 2004.
3. Golub M.A., Photocyclization of 1,2-Polybutadiene and 3,4-Polyisoprene, *Macromolecules*, **2**, 550-552, 1969.
4. Golub M.A. and Rosenberg M.L., Photorearrangements of Hydrocarbon Polymers with Pendant Double Bonds, *J. Polym. Sci., Polym. Chem. Ed.*, **18**, 2543-2560, 1980.
5. Anachkov M.P., Rakovsky S.K., and Zaikov G.E., Ozonolysis of Polybutadienes with Different Microstructure in Solution, *J. Appl. Polym. Sci.*, **104**, 427-433, 2007.
6. Zeng X.R. and Ko T.M., Thermal Crosslinking of Cis-1,4-polybutadiene at Ultrahigh Pressures, *J. Appl. Polym. Sci.*, **67**, 2131-2140, 1998.
7. Coquillat M., Verdu J., Colin X., Audouin L., and Neviere R., Thermal Oxidation of Polybutadiene. Part 1: Effect of Temperature, Oxygen Pressure and Sample Thickness on the Thermal Oxidation of Hydroxyl-Terminated Polybutadiene, *Polym. Degrad. Stab.*, **92**, 1326-1333, 2007.
8. Coquillat M., Verdu J., Colin X., Audouin L., and Neviere R., Thermal Oxidation of Polybutadiene. Part 2: Mechanistic and Kinetic Schemes for Additive-Free Non-crosslinked Polybutadiene, *Polym. Degrad. Stab.*, **92**, 1334-1342, 2007.
9. Coquillat M., Verdu J., Colin X., Audouin L., and Neviere R., Thermal Oxidation of Polybutadiene. Part 3: Molar Mass Changes of Additive-free Non-crosslinked Polybutadiene, *Polym. Degrad. Stab.*, **92**, 1343-1349, 2007.
10. Golub M.A., *Developments in Polymer Degradation, 4: Thermal Rearrangements of Unsaturated Hydrocarbon Polymers*, Grassie N. (Ed.), London, Applied Science, 1982.
11. Chen F. and Qian J., Studies on the Thermal Degradation of Polybutadiene, *Fuel Proc. Technol.*, **67**, 53-60, 2000.
12. Jiang D.D., Levchik G.F., Levchik S.V., and Wilkie C.A., Thermal Decomposition of Cross-linked Polybutadiene and Its Copolymers, *Polym. Degrad. Stab.*, **65**, 387-394, 1999.
13. Golub M.A., Thermal Rearrangements of Polybutadienes with Different Vinyl Contents, *J. Polym. Sci., Polym. Chem. Ed.*, **19**, 1073-1083, 1981.
14. Ziaeef F., Salehi-Mobarakeh H., Nekoomanesh M., and Arabi H., Study of Tacticity and Thermal Rearrangement of Low Molecular Weight 1,2-Polybutadiene by NMR, *e-Polymers*, **118**, 2008.
15. Grassie N. and Heaney A., Thermal Reaction of Pendent Vinyl Groups in Polybutadiene and Copolymers of Butadiene and Acrylonitrile, *J. Polym. Sci., Polym. Lett. Ed.*, **12**, 89-94, 1974.
16. Schneider B., Doskocilova D., Stokr J., and Svoboda M., Study of Thermal Degradation of Polybutadiene in Inert Atmosphere: 1. Evidence of Temperature and Time of Heating in IR and NMR Spectra, *Polymer*, **34**, 432-436, 1993.
17. Doskocilova D., Straka J., and Schneider B., Study of Thermal Degradation of Polybutadiene in Inert Atmosphere: 2. Characterization of Thermal Crosslinking in Polybutadiene by High Resolution Solid State <sup>13</sup>C and <sup>1</sup>H Magic Angle Spinning NMR Spectroscopy, *Polymer*, **34**, 437-439, 1993.
18. Chiantore O., Cortemiglia M.P.L., and Guaita M., Thermal Degradation of Polybutadiene, 1. Reactions at Temperatures Lower than 250°C, *Makromol. Chem.*, **190**, 3143-3152, 1989.
19. Santee E.R. (Jr), Chang R., and Morton M., 300 MHz Proton NMR of Polybutadiene: Measurement of Cis-Trans Isomeric

- Content, *J. Polym. Sci., Polym. Let. Ed.*, **11**, 449-452, 1973.
20. Ziae F., Salehi-Mobarake H., and Nekoomanesh M., Thermal Rearrangement Study of Low Molecular Weight Polybutadiene, *Polym. Degrad. Stab.*, **94**, 1336-1343, 2009.
21. Odian G., *Principles of Polymerization*, John Wiley and Sons, USA, 412-422, 2004.
22. Conti F., Segre A., Pini P., and Porri L., Nuclear Magnetic Resonance Studies of Polydienes: 1.  $^{13}\text{C}$  NMR of 1,4-Polybutadiene Obtained by  $\pi$ -Allyl Nickel Trifluoroacetate Catalysts, *Polymer*, **15**, 5-8, 1974.